

高等学校教学用書

蒸汽鍋爐·汽輪机及
汽輪發电机金屬強度原理

上 册

I. A. 奧勤格著

高等 教育 出版 社

高等學校教學用書



蒸汽鍋爐·汽輪机及
汽輪發电机金屬強度原理

上 冊

II. A. 奧勤格著
錢定華 范从振譯

高等教育出版社

本書系根據蘇聯國立動力出版社（Государственное энергетическое издательство）出版的奧勤格（И. А. Одинг）著“蒸汽鍋爐·汽輪機及汽輪發電機金屬強度原理”（Основы прочности металлов паровых котлов, турбин и турбогенераторов）1949年版譯出。原書經蘇聯高等教育部審定為動力高等學校的數學參考書。

本書論述動力機器製造方面的金屬強度問題。全書共分十五章，詳細地敘述了金屬的靜力強度、金屬脆性、塑性變形與再結晶、高溫下的金屬強度、內應力、循環強度以及金屬腐蝕等問題。對於蒸汽鍋爐、汽輪機及汽輪發電機主要機件的使用情況、損壞原因以及製造這些機件的金屬特性及其試驗等也作了詳細的分析。

本書適於作為高等學校動力類各專業的參考書，也適於作為動力機器設計、製造及運用方面的工程師的參考書。

本書分上下兩冊出版。上冊第一章到第六章系南京工學院錢定華教授翻譯，第七章系南京工學院范從振教授翻譯。

蒸汽鍋爐·汽輪機及汽輪 發電機金屬強度原理

上冊

I. A. 奧勤格著

錢定華 范從振譯

高等教育出版社出版

北京琉璃廠一七〇號

（北京市書刊出版業營業許可證出字第〇五四號）

商務印書館上海廠印刷 新華書店總經售

書號 15010·121 開本 850×1168 1/32 印張 9 1/16 字數 232,000

一九五六年十二月上海第一版

一九五六年十二月上海第一次印刷

印數 1—7,000 定價(10) 人民幣 1.40

序

蒸汽鍋爐、汽輪机以及汽輪發电机零件的特殊使用情況對於制造这些零件的金屬提出了很高的要求。为了制造这些动力机器和裝备，必須採用各种鋼、鑄鐵、有色金屬以及輕合金等的廣泛品种。这类裝备的許多主要零件都有复雜的形狀、大的尺寸，因而也有大的重量；这样就使制造过程复雜，並且增加机件內產生降低強度的缺陷的可能性。所有这些情况就使金屬強度問題在这一类机器制造方面具有更大的意義和作用。

在苏联，动力机器制造獲得了特別迅速的發展，在發展的規模上，美國、英國以及其他工業國家近年來的進展是不能和苏联比拟的。特種的机器不必談，只要指出功率 100000 瓦、轉速 3000 轉/分的固定汽輪机及汽輪發电机就夠了；这类机器的制造在苏联已經成为一种普通而熟練的制造過程。苏联动力机器制造的發展可以作为社会主义經濟制度优越性的一个顯明例子。

苏联的强大冶金基礎，尤其是金屬科学的成就——金屬強度的研究、工藝因素對於強度的影响等等問題的研究——促進了动力机器制造的發展；在苏联，金屬科学的發展早在十九世紀与二十世紀初就被阿諾索夫(П. П. Аносов)、切尔諾夫(Д. К. Чернов)、卡拉庫茨基(Н. В. Каракуцкий) 及巴依可夫(А. А. Байков) 等的工作奠定了坚固的基礎。

本書共分十五章，前七章說明金屬強度的一般問題；后八章說明蒸汽鍋爐、汽輪机及汽輪發电机个别零件的強度問題，同时考慮到这些零件制造的最新工藝过程對於強度計算所提出的那些要求。

技术科学副博士斯米尔諾夫(В. И. Смирнов) 副教授寫了“汽輪机

轉子零件”一章，以及技術科學副博士奧勤格(Г. А. Одинг)副教授寫了“汽輪機鑄造”一章，對於編著本書給予很大幫助，著者在此對他們表示感謝。

技術科學副博士拉勃謙可夫(А. В. Рабченков)校閱了“金屬的腐蝕與浸蝕”及“蒸汽鍋爐零件”兩章並供給了圖片說明資料，著者表示感謝。

工程師阿伊澤施塔(И. И. Айзенштат)對於原稿校訂及其出版準備做了很多工作，著者同樣致以謝意。

書內如有錯誤請逕寄：Москва，Шлюзовая набережная，10，
Госенергоиздат。

Г. 奧勤格

目 錄

序

第一章 金屬的靜力強度.....	1
1-1. 彈性与塑性.....	1
1-2. 金屬強度的特性.....	9
A. 拉伸.....	9
B. 壓縮、弯曲及扭轉屈服点.....	19
第二章 金屬的脆性.....	24
2-1. 測定冲击脆性的方法.....	24
2-2. 冲击脆性的种类.....	28
2-3. 冷脆性.....	29
2-4. 回火脆性与热脆性.....	34
2-5. 鋼的时效.....	40
A. 机械时效.....	40
B. 張散硬化.....	43
2-6. 赤热脆性.....	45
2-7. 脆性断裂強度.....	47
第三章 金屬的塑性变形与再結晶.....	54
3-1. 概論.....	54
3-2. 塑性变形时顯微組織的改变.....	55
3-3. 再結晶时顯微組織的改变.....	62
3-4. 塑性变形和再結晶时金屬物理性質的变化.....	66
第四章 高溫下的金屬強度.....	72
4-1. 概論.....	72
4-2. 溫度對於強度極限和塑性的影响.....	73
4-3. 溫度對於屈服点的影响.....	77
4-4. 溫度對於彈性性質的影响.....	80
4-5. 金屬的松弛.....	84
4-6. 金屬的蠕变.....	88
4-7. 蠕变的本質.....	93

目 錄

A. 应变硬化和再結晶.....	94
B. 組織变化.....	96
B. 相的轉變.....	98
C. 金屬的时效.....	99
D. 外在原因.....	102
4-8. 金屬蠕變抵抗力的評定方法.....	103
A. 均匀蠕变速度方面的蠕变特性.....	108
B. 総合应变方面的蠕变特性.....	118
C. 蠕变極限.....	122
4-9. 金屬蠕變与松弛之間的关系.....	127
4-10. 長期強度.....	135
4-11. 耐熱合金.....	137
第五章 內應力(工藝應力).....	139
5-1. 概論.....	139
5-2. 鋼在加热和冷却时的体積变化.....	140
5-3. 鋼料棱柱体的加热.....	141
5-4. 圓柱形鋼管与鋼鍛件的冷却.....	144
5-5. 热处理时所得到的应力的計算.....	148
5-6. 用切取圓环的方法來測定圓柱体內的殘余应力.....	155
5-7. 扎克斯法.....	157
5-8. 測定薄管內殘余应力的达維琴珂夫法.....	162
第六章 循環強度.....	165
6-1. 疲劳極限.....	165
6-2. 循環韌性.....	170
6-3. 循環強度的标准.....	178
6-4. 工藝因素.....	191
A. 鉄粒噴射.....	191
B. 表面輥壓.....	193
B. 切削規範的影响.....	195
6-5. 制件的形状与尺寸.....	202
A. 应力集中的理論系数与实际系数.....	202
B. 应力高峯的降低作为塑性变形的結果.....	206
B. 測定循环韧性的方法.....	209
T. 其他因素對於循环強度的影响.....	219
6-6. 金屬疲勞破斷面的分析作为确定机器损坏原因的方法.....	235
A. 破断面特征.....	237
B. 疲劳破裂范围發展的深度.....	239

B. 应变硬化的程度与特征.....	240
Г. 策源中心的数目.....	244
Д. 疲劳裂縫前沿線的特征.....	244
Е. 疲劳裂縫前沿線的痕跡.....	255
Ж. 汽輪机叶片疲劳破断面組織的某些特点.....	256
З. 循环扭轉所引起的疲劳破断面的特征.....	259
第七章 金屬的腐蝕和浸蝕.....	264
7-1. 概論.....	264
7-2. 腐蝕理論. 金屬和电解質的相互作用.....	265
7-3. 腐蝕的迟钝現象及薄膜理論.....	268
7-4. 腐蝕的电化学理論.....	269
7-5. 电化学腐蝕举例.....	270
7-6. 电腐蝕.....	271
7-7. 气体腐蝕.....	273
7-8. 蒸汽动力裝置的腐蝕.....	274
7-9. 浸蝕.....	275

中俄名詞对照表**参考書目**

第一章 金屬的靜力強度

1-1. 彈性与塑性

金屬合金所有的物理性質之中，強度性質對於机器制造最有关系。所謂強度就是金屬能夠承受外力和內力的作用而不被破坏的能力。这些力作用於金屬零件时，將在零件內引起彈性应变和塑性应变。

載荷去除后即行消失的那种应变（零件恢复其原來的大小和形狀者）称为彈性应变。載荷去除后並不消失而留存的那种应变称为塑性应变。因此塑性应变常常称为殘余应变。

金屬能夠彈性地变形而不断裂的能力称为彈性，而金屬能夠承受殘余应变但不断裂的能力称为塑性。从这方面來看，彈性和塑性是对立的性質。用这个觀点來考慮金屬的強度时，可以說所謂金屬強度就是金屬能夠承受彈性和塑性应变而不断裂的性質。

大家知道，如果無限小的力 dP 作用於無限小的面積 ds 上，则

$$\sigma = \frac{dP}{ds}$$

称为应力。

解决与零件強度有关的問題时，研究作用於一定平面上的应力要比研究作用力來得簡單。假如有一个受外力作用的試塊（圖 1-1），外力在其断面 SS 上引起正应力 σ ，那末對於任何一个其他的断面 S_1S_1 而言，这个应力可分为兩個分应力： σ_n —垂直於平面 S_1S_1 ，以及 τ —沿着这个平面。

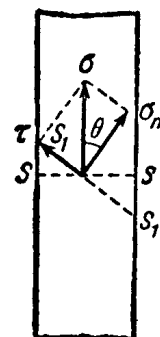


圖 1-1. 正应力与切应力。

(1)

假如 σ_n 与 σ 之間所成的角用 θ 表示, 則

$$\left. \begin{array}{l} \sigma_n = \sigma \cos \theta \\ \tau = \sigma \sin \theta \end{array} \right\} \quad (1-1)$$

对平面 S_1S_1 而言, 应力 σ_n 称为正应力, 而应力 τ 称为切应力或剪应力。

正应力和切应力都可以引起彈性应变, 因此將应变区别为正应变和剪应变。彈性应变与应力之間有一定的关系, 称为比例定律(虎克定律)。例如, 在單純的正拉应力或正压应力之下, 这个定律可用下式表示:

$$\sigma = E \cdot \varepsilon_u, \quad (1-2)$$

式中 ε_u —試件的彈性伸長(或縮短)率;

E —彈性系数。

对切应力而言, 弹性应变与应力之間的关系則以下式表示:

$$\tau = G \cdot \gamma_u, \quad (1-3)$$

式中 G —抗剪彈性系数(抗剪系数)。

γ_u —相对剪切。

除了以上所說的彈性常数之外, 泊松系数 μ 对於强度計算有很大作用, 該系数說明在力的縱向作用下的横向应变。

这三个金属彈性常数, 相互之間有以下的公式关系:

$$G = \frac{E}{2(1+\mu)}, \quad (1-4)$$

某些金属的泊松系数的数值見表 1-1。

某些金属的彈性系数与抗剪系数的平均数值如表 1-2 所示。

彈性特性对於許多机械零件的設計具有很大作用。設計者常常不能滿意於这些平均数值, 而要求更正确地定出这些特性。

彈性变形时, 金属原子依照变形的特点彼此接近或离开(金属結晶格子發生彈性应变)。但在塑性变形时, 金属内發生晶粒的一部分相对

表 1-1. 某些金屬的系数 μ 的数值

金屬	μ
鋁及其合金.....	0.30—0.40
青銅.....	0.30—0.35
金.....	~0.40
黃銅.....	0.30—0.45
銅.....	0.30—0.35
銀.....	~0.40
鋼.....	0.25—0.35
鋅.....	0.20—0.30
鑄鐵.....	0.23—0.30

表 1-2. 某些金屬的系数 E 及 G 的数值

金屬	E , 公斤/公厘 ²	G , 公斤/公厘 ²
鋁.....	7200	2700
鎢.....	36000	—
鐵與鋼.....	20000	8300
金.....	8100	2800
銅.....	12700	4700
錫.....	5500	—
鉛.....	1700	—
鋅.....	13000	—

於另外一部分的滑移。这种沿着一定的結晶面所進行的滑移，只是由於切应力所引起，而不是由於正应力所引起。正应力不能引起塑性应变。即使外力的作用是在試样最小的截面上引起了正应力，譬如圓形或棱形試样在單純拉力下所發生的情形，在这种情况下应变也会發生，因为沿着与作用力方向約成 45° 角的平面上產生了滑动(滑移)。这些平面上有最大的切应力發生，可由公式(1-1)看出。

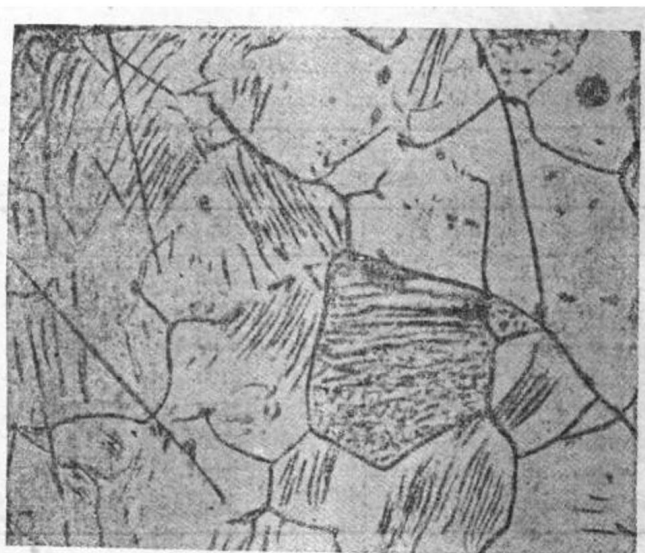
拉伸磨光的試样时就可以明顯地看出沿着大約成为 45° 角的平面上所發生的滑动应变。圖 1-2 所示就是經過变形的这种試样。上面的黑線是沿着这些平面所發生的滑移的聚集。在顯微鏡下研究变形时，



圖 1-2. 滑动線。

很容易發現到個別晶粒內的滑移線。

圖 1-3 所示是軟鋼(几乎是純鐵)經過壓縮變形後的顯微鏡照片。箭頭表示壓縮方向。鐵素體晶粒上的滑動帶明晰可見。

圖 1-3. 鐵晶粒上的滑移線($\times 300$)。

人們也曾設法在塑性應變與應力之間確定一個分析關係，提供了某些經驗公式。其中一個是冪數關係的形式：

$$\delta = A \cdot \sigma^m, \quad (1-5)$$

式中 A 及 m 為常數。

經過退火的金屬，常數 m 的數值總在 2 到 3.5 的範圍之內，但是金屬經過淬火之後，該常數就迅速提高到 25—30 之間以及更高的數值。常數 A 的變異範圍較小，就退火金屬而言常數 A 是在 0.025—0.030 之間。

也曾有人建議用下列公式來表示拉伸应力与应变之間的关系 [参考書刊 1]：

$$\delta + \delta_0 = \frac{A(\beta^\sigma - 1)}{\beta - 1}, \quad (1-6)$$

式中 δ —实际伸長率；

δ_0 —試驗前金屬曾獲得的实际伸長率(例如拉絲或压延时所得)；

A —塑性系数；

B —应变公倍数；

σ —和力的作用相垂直的平面上，作用於拉力方向的实际应力。

表 1-3 内所示是某些金屬的 A 与 B 的数值。

表 1-3. 某些金屬的塑性系数及应变公倍数的数值

金屬	A	B
鋁青銅.....	9500×10^{-8}	1.070
硬鋁.....	14500×10^{-8}	1.125
机器制造鋼(0.35—0.45% C) ...	5400×10^{-8}	1.032
銅.....	172200×10^{-8}	1.105
軟鋼(0.10—0.20% C)	5500×10^{-8}	1.120
無磁性鋼.....	286000×10^{-8}	1.010

根据研究結果可以得出这样一个結論：彈性常数与变形速度無关；而塑性常数，例如塑性系数和应变公倍数，却在很大的程度上決定於变形速度。譬如說，說明应力与应变之間相互关系的拉伸曲線，同一种金屬在不同的拉伸速度下所确定出來的这些曲線，彼此之間就会有很大的区别。各种金屬在变形速度上的反应不同，虽然还没有找出应力、塑性应变以及变形速度之間的函数关系，但是研究結果可以使我們斷言：变形速度對於金屬的塑性常数确有影响。

圖 1-4 所示是含碳 0.12% 的碳鋼拉伸圖。横坐标代表应变，以試样的断面收縮率表示(ψ)；縱坐标代表实际应力(σ_s)，該应力是按当时有效横断面面積上所担负的載荷計算。曲線 a 是緩緩拉伸时所得，曲

線 6 是迅速拉伸時所得，兩條曲線很不一致。

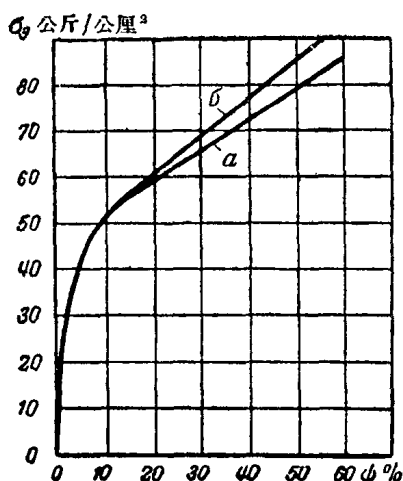


圖 1-4. 含碳 0.12% 的碳鋼的有
效拉伸圖：

a—緩緩拉伸； b—較快拉伸。

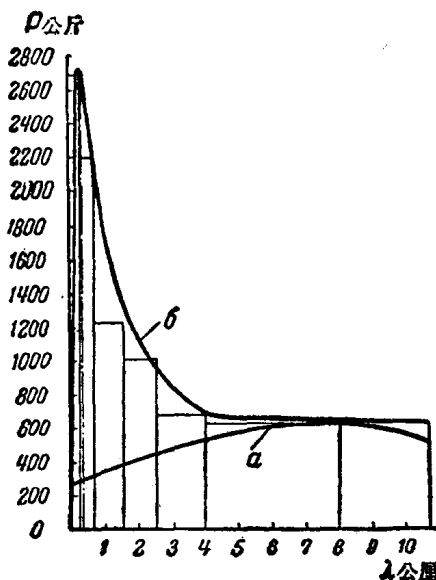


圖 1-5. 靜力拉伸(a)與動力拉伸(b)圖。

圖 1-5 所示是靜力拉伸曲線和動力拉伸曲線 [參考書刊 2]。在這裡，縱坐標代表載荷 P ，橫坐標代表絕對伸長 λ 。顯然，兩曲線之間彼此區別很大。

塑性性質和變形速度之間的關係以及彈性極限隨着變形速度增加而提高的能力，可以使我們在金屬動力強度方面——金屬在衝擊載荷下的強度——作出一個非常重要的結論。

人們發現了，假如金屬具有隨着變形速度的增加而迅速提高其彈性極限的能力，那末這種金屬就可能脆性地斷裂而無塑性應變發生。在試樣斷裂上所消耗的功很小。我們把這種金屬稱為衝擊-脆性金屬，以別於衝擊-韌性金屬，後者在力的很快作用下——衝擊時——就發生塑性應變。

因此，我們可以認為變形速度是能使那些能夠塑性變形的金屬發

生脆性破裂的一个因素。

對於塑性变形發生阻碍作用的，除了变形速度之外，还有其他因素，例如低温，复合应力状态，以及那些也引起复合应力状态与应力集中現象的切口等。

上面所說可以使我們确定：根据金屬所处的情况，金屬可以脆性地破裂（沒有顯著的塑性应变）或者韧性地破裂（有顯著的塑性应变痕迹）。

这两种情况下的抗拉强度，即是引起金屬断裂的那个应力数值，也将各不相同。

我們可以將引起金屬脆性断裂的那个应力称为抗断性能（сопротивляемость отрыву），而將金屬發生某些塑性应变之后才会引起金屬断裂的那个应力称为抗拉强度（сопротивление разрыву）。这两种断裂的本质都是一样。在两种情况之下，金屬整体性的破坏（裂开）都是由於金屬晶粒內原子間結合的破坏而开始。

圖 1-6 所示是金屬強度情況的示意圖，該圖由下法作出。縱坐标代表应力的数值(σ)，横坐标代表应变，以試样的断面收縮率(ψ)表示。曲線 ABC 代表被研究金屬的抗拉强度的大小：曲線 OC 与 OC_1 都是拉伸曲線； OC 的变形速度为 v_1 ，而 OC_1 的变形速度为 v_2 ，且 $v_2 > v_1$ 。

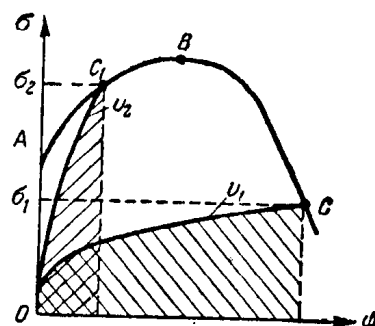


圖 1-6. 有不同变形速度的拉伸圖。

顯然，金屬拉伸的速度如为 v_1 ，当应力达到 σ_1 时金屬即开始断裂；如拉伸速度为 v_2 ，应力达到 σ_2 时金屬开始断裂。在两种情况之下，断裂之前都有一定的塑性应变，同时断裂所需要的功則与圖 1-6 上画着斜線的面積成比例。

下面將要討論什么原因使得抗拉强度的数值增加和降低，以及什

么原因使得金屬的破裂有时是沿着与作用力方向垂直的平面而發生，而有时則沿着有最大切应力作用的平面而發生。現在我們僅僅指出：与其說是脆性与韌性說明了金屬的性質，还不如說脆性与韌性說明了金屬的状态。韌性金屬可以变到会产生脆性破裂的状态，同时相反地，大家知道脆性材料通常在一定的状态之下会顯示出較大的塑性。譬如說，大理石在复合应力的状态下变形时就呈現較大的塑性。

也应当注意：金屬可以承受無限次数的彈性应变而不破裂，並且这种应变非但可以是單方向的（如拉力），也可以是反复变号的方向（如拉力一压力）。相反地，金屬倒並非常常能夠承受無限次数的重复塑性应变，尤其是反复变号的塑性应变。

實驗曾證明：材料經受了經過一定期間重复的重复应力或反 复 变号的应力，非但会在載荷低於抗拉強度时破裂，並且常常会在載荷低於所謂彈性極限的时候就破裂。这种現象称为材料的疲劳。

設計者常常必須知道疲劳極限的大小，也就是經受無限次变号的載荷的金屬所能忍受而不破裂的最大应力的数值。因为这种数值不能用實驗的方法确定，所以將鋼質試样在变号載荷的次数等於 10^7 时，以及有色金屬在变号載荷的次数等於 10^8 时，金屬所能忍受的最大应力定为疲劳極限。我們將在下面看到，就实用目的而言，这种数值大多数是十分令人滿意的。

为了确定鋼的疲劳極限与彈性極限之間的关系，过去曾進行过很多研究工作。但是这些研究沒有得到所希望的結果，同时也不可能得到，因为金屬的疲劳現象与塑性性質有关而与彈性性質則無关。有人会想，一般疲劳試驗时所测定的应力大多是低於彈性極限，有时也稍微大於彈性極限，那末在这样的应力之下，塑性应变就不一定会对於材料強度發生顯著的影响。可是更仔細地研究一下这个問題就可以知道，在实际許可应力下所發生的塑性应变，就已經不是像一般所想的那样小。

从下面的例子就很易确信这一点。所謂彈性極限常常是指引起殘余伸長 $\delta_0 = 0.03\%$ 的那个应力。現在把这个塑性应变与彈性应变比較一下。假如彈性極限 $\sigma_u = 20$ 公斤/公厘², 彈性系数 $E = 20000$ 公斤/公厘², 則伸長等於：

$$\delta_u = \frac{\sigma_u}{E} \times 100 = \frac{20}{20000} \times 100 = 0.1\%;$$

而殘余伸長則為彈性伸長率的

$$\frac{\delta_0}{\delta_u} \times 100 = \frac{0.03}{0.1} \times 100 = 30\%,$$

这已是一個必須重視的数值。

大家知道,有些种类的鋼可以在 $n = \frac{\delta_0}{\delta_u}$ 等於 1.5 的情况下, 在变号載荷作用下長期地工作,但是另外一些鋼当 $n = 0.002$ 时就会很快地断裂。於是,各种类型的鋼所能夠承受重复塑性应变或反复变号塑性应变的能力就頗有差別。这些事实就足夠明顯地說明疲勞現象和塑性应变之間的关系。

1-2. 金屬强度的特性

前面我們討論了金屬強度的質量特性——彈性和塑性性能。現在我們要討論強度和塑性的数量特性。后者已是数字特性,用來判断所給金屬是否適用於机器制造。

A. 拉伸

進行金屬拉力試驗时,差不多都是採用有均匀截面的圓柱形試样或者是棱柱形試样。这些試样固定在專用拉力机的夾子当中。圖 1-7 所示是一種結構最完善的拉力机的外貌。这些拉力机通常都具有附屬裝置,借以繪制載荷 P 和試样伸長 $\Delta l = \lambda$ 之間的关系曲線。这些曲線稱為拉伸圖。各種金屬及合金的这类曲線如圖 1-8 所示。按照伸長的特